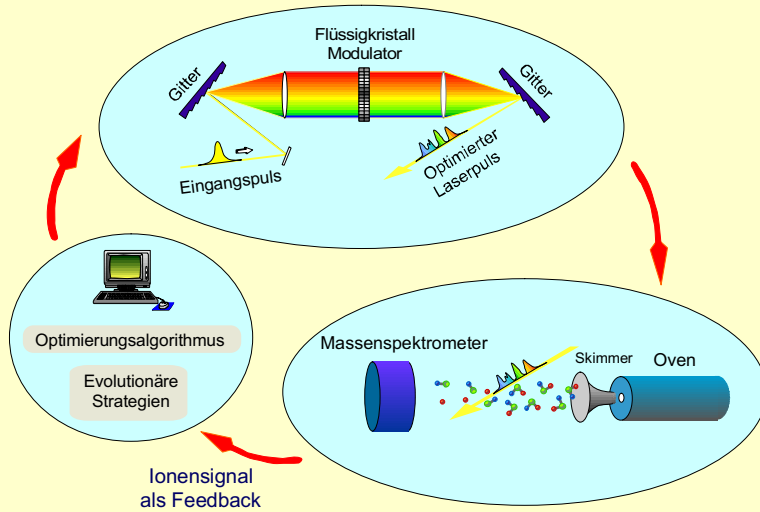
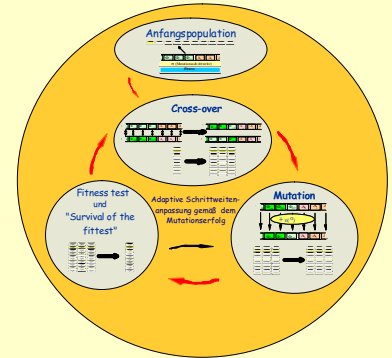


Prinzip der aktiven Steuerung

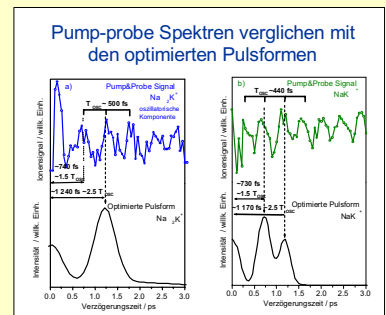
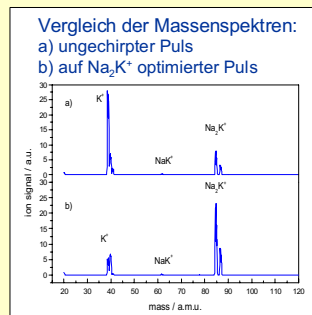
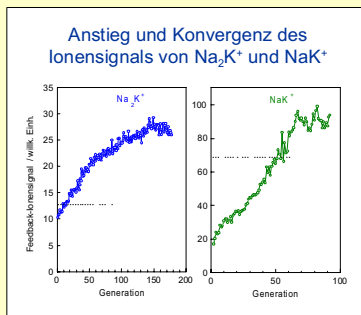
Adaptive Feedback-Optimierung



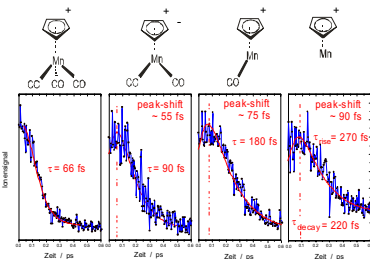
Evolutionäre Strategien



Steuerung der Wellenpaketdynamik in Na_2K und NaK

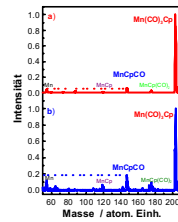


Pump-probe Spektren des Fragmentationsverhaltens von $\text{MnCp}(\text{CO})_3$

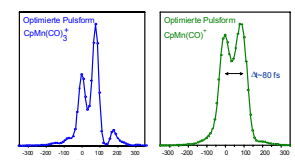


Steuerung der ultraschnellen Fragmentation von $\text{MnCp}(\text{CO})_3$

Massenspektren nach der Optimierung von $\text{MnCp}(\text{CO})_3^+$ (a) und $\text{MnCp}(\text{CO})^+$ (b)

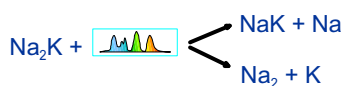


Optimierte Pulsformen für $\text{MnCp}(\text{CO})_3^+$ und $\text{MnCp}(\text{CO})^+$



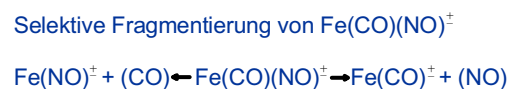
Geplante Projekte

Kohärente Steuerung der Fragmentation von Na_2K



Zusammenarbeit mit TP C2

Steuerung der Ligandenabspaltung



Zusammenarbeit mit TP C1